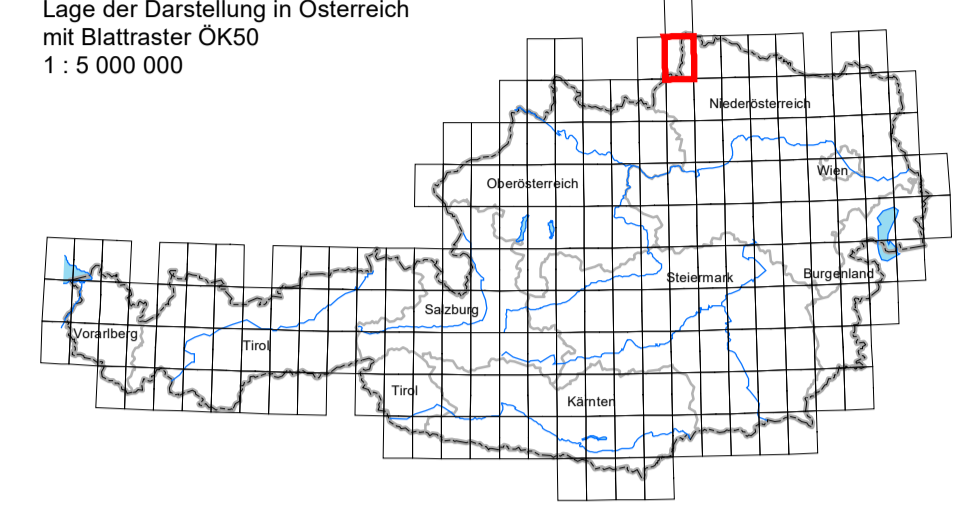
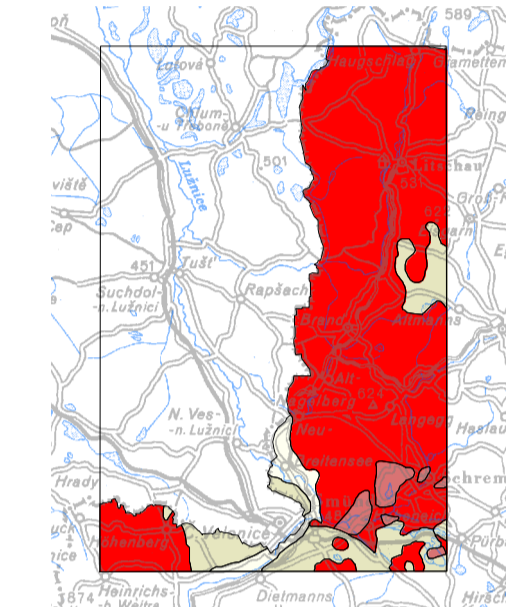


Lage der Darstellung in Österreich  
mit Blattreiter ÖK50  
1:5 000 000



### Geologisch-tektonische Übersicht 1: 400 000



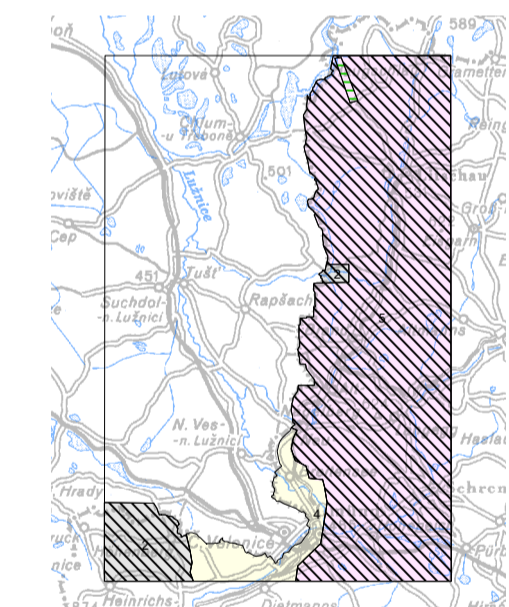
- Oberpliozäne und Quartäre Ablagerungen**
- Quartäre Ablagerungen
- Eurasische Platte
- Autochthone Molasse und oligozän-neogene Sedimente auf der Böhmisches Masse (informell 20120127)
- Autochthone Molasse und oligozän-neogene Sedimente auf der Böhmisches Masse / Känozoische Sedimente des Europäischen Vorlandes
- Post-variszische Bedeckung des Europäischen Vorlandes
- Mesozoische und Känozoische Sedimentfüllung der Südböhmische Becken
- Südböhmische Becken
- Wittingauer Becken
- Moldanubikum
- Südböhmischer Batholith
- Südböhmischer Batholith
- Moldanubische Decken
- Ostrog-Deckensystem ("Monotone Serie")

**GeoSphere Austria**  
Bundesanstalt für Geologie, Geophysik, Klimatologie und Meteorologie

Erhältlich im Verlag der GeoSphere Austria - www.geosphere.at, A-1190 Wien, Hirtze Warte 38  
© 2023 GeoSphere Austria, Datensatz publiziert unter www.tethys.at - Topografie Stand 2020, © BVL - Bundesamt für Eich- und Vermessungswesen CC BY 4.0

Projektbeauftragung: E. Hintersberger, Projektleitung: G. E. U. Grönmayer, Redaktion: O. Kreuz, GIS-Datenbank: I. Bayer, Layout: I. Bayer

### Übersicht der eingearbeiteten Karten

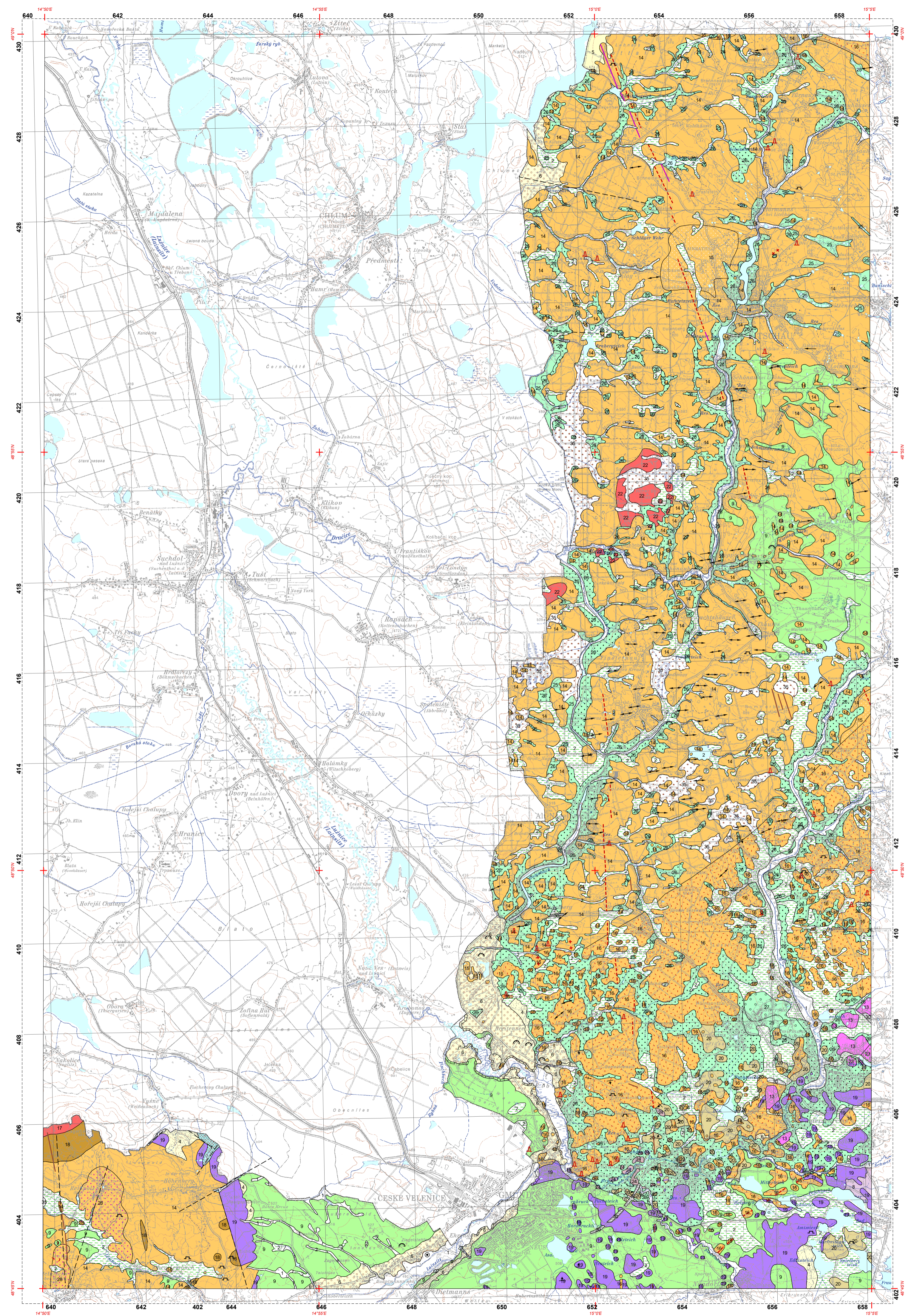


- K. Breiter & S. Scharbert, 1995
- K. Breiter & S. Scharbert, 1998
- W. Schnabel et al., 2002
- R. Roetzel, unpublizierte Manuskripte 1998-2001
- L. Waldmann, 1950

Kompilation:  
O. Kreuz & M. Linner (GeoSphere Austria, 2023)

Unter Verwendung LaserScan  
NOGIS

**Hinweis für NutzerInnen**  
GEOFAST-Karten werden überwiegend aus Archivunterlagen der GeoSphere Austria erstellt. Ergänzend können auch publizierte Karten, meist älteren Datums, in die Zusammenstellung einfließen. Eine Überprüfung durch zusätzliche Geländebegahrungen erfolgt nicht. Diskontinuitäten zwischen den verwendeten Kartenunterlagen verschiedener Autoren werden bewusst beibehalten und können sich als Sprünge in den Konturlinien äußern. Geologische Inhalte werden in die aktuellen stratigraphischen und tektonischen Modelle überführt. Aufgrund der Übertragung der geologischen Inhalte von Karten mit veralteter Topografie und größeren Maßstäben in die aktuelle topografische Grundlage sind Lagegenauigkeiten vorhanden.



- QUARTÄRE SEDIMENTE UND FORMEN**
- Anthropogen verändertes Gelände
- Bach- oder Flussablagerung, Austufe größerer Gerinne (Schluff, Sand, Kies)
- Terrassenkante, Erosionskante
- Rutschung
- Vernässung, Anmoor, Niedermoor
- Torfmoor
- Schutt- und Schwemmkegel, Murenkegel
- Sollifuktions- und Flächenspülsediment, z.T. äolische Sande (Silt, Sand, Kies)
- Flugsand (äolisch abgelagerter Sand)
- Terrassenschotter (Kies, Sand, Ton, tw. mit Lehmdecke, Mittelpleistozän)

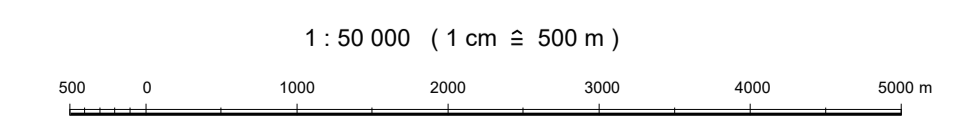
- Post-variszische Bedeckung des Europäischen Vorlandes**
- Mesozoische und Känozoische Sedimentfüllung der Südböhmischen Becken**
- Südböhmische Becken
- Wittingauer Becken
- Mydovny-Formation (Sand, Sandstein, Ton, Diatomit, Kohle, limnisch-brackisch; Badenium)
- Tone (Oberkreide oder Paläogen bis Neogen oder Pleistozän)
- Sand und toniger Sand (Oberkreide oder Paläogen bis Neogen oder Pleistozän)
- Schotter auf Sand und Ton (Oberkreide oder Paläogen bis Neogen oder Pleistozän)
- Křivok-Formation ("Gmünder Schichten", feldspatricher Grobsand, Konglomerat, Pflanzen führender Sand- und Tonstein, Kohle, lakustrin; Oberkreide)

- AUTOCHTHONE MOLASSE UND OLIGOZÄN-NEOGENE SEDIMENTE AUF DER BÖHMISCHEN MASSE**
- St. Marek-Freischling-Formation (feldspatricher Grobsand, Kies, Schluff, limnisch-fluvial; Kieselium - Eggenburgium)

- MOLDANUBIKUM**
- Südböhmischer Batholith
- Quarzzgang
- Granitporphyr (sehr feinkörnig, porphyrischer rosa Kalifeldspat, Quarz, Biotit und Plagioklas)
- Aplit
- Schremer Granit (Biotit-Granit, betont feinkörnig; Pennsylvanum)
- Wolfsegger Granit (Biotit-Granit, mittelkörnig, biotitreich; Pennsylvanum)
- Pyrabruck-Nakolice-Granit (Muskovit-Granit, Topas führend, Li-Muskovit; Pennsylvanum)
- Lagerberg-Granit, Ober-Lembach- und Unterlembach-Granit (Albit-Muskovit-Granit, Biotit führend; Pennsylvanum)
- Josefsthal-Granit (Gang, feinkörnig, hell, Muskovit führend; Pennsylvanum)
- Galthof-Granit (Muskovit-Granit, fein- bis mittelkörnig, leukokrat, Topas führend; Pennsylvanum)
- Eisgarner Granit (Zweiglimmer-Granit, fein- bis mittelkörnig; Mississippium)
- Eisgarner Granit (Zweiglimmer-Granit, mittel- bis grobkörnig, mit kesselartigen Kalifeldspat-Einsprenglingen; Mississippium)
- Eisgarner Granit, Typ Zofin (Zweiglimmer-Granit, biotitbetont, feinkörnig, selten porphyrisch; Mississippium)
- Eisgarner Granit, Typ Címěř (Zweiglimmer-Granit, grobkörnig, porphyrischer Kalifeldspat; Mississippium)
- Weinsberger Granit (Biotit-Granit, sehr grobkörnig, mit idiomorphe Großkalifeldspat; Mississippium)

- Ostrog-Deckensystem**
- Granitgneis, lagig migmatisch
- Migmatischer Paragneis, biotitreich, Cordierit und Sillimanit führend (Neoproterozoikum - Ordovizium)

- Diverse Zeichen**
- Störung (vermutet)
- Streichen und Fallen der Schieferung und Schichtung
- 31 - 60°
- 86 - 90°
- Streichen und Fallen der Faltenachsen oder Lineationen
- 0 - 5°
- 6 - 15°
- Sonstige
- Bohrung
- Steinbruch
- Sandgrube, Kiesgrube
- Naturdenkmal



Gauß-Krüger-Abbildung, Koordinatensystem M 34 des Bundesmeldenetzes